

## MATEMATICKO-ŠTATISTICKÝ ROZBOR ZÁVISLOSTÍ KINETIKY RASTU BAKTÉRIÍ PO ZMRAZOVANÍ

JÁN ARPAI, MARTA GRÓFOVÁ, MARTA BÁNHEGYIOVÁ

Nízke teploty účinkujú na živú bunku, resp. mikroorganizmy prostredníctvom rozmanitých fyzikálnych i chemických mechanizmov, ako sme o tom už obšírnejšie písali v predchádzajúcich prácach (Arpa i, 1960a, 1961a, b, c). Tu sa iba uvádza, že spôsob zmrzovania ako aj rozmrazovania, t. j. teplotný spád a dĺžka času pôsobenia chladu spolu s vlastnosťami média vytvárajú podmienky, ktoré v závislosti od fyziologického stavu, rastovej fázy a fenotypických vlastností kultúry určujú povahu výsledného efektu nízkoteplotnej expozície. Tento efekt sa môže prejavoviť ako letálne alebo neletálne fyziologické poškodenie buniek. Podľa Stilleho (1950) kinetika letálneho poškodenia mikroorganizmov zmrzovaním zodpovedá exponenciálnemu procesu (Rahn, 1933). O tomto názore sa medzičasom veľa diskutovalo. Pochybovači sa opierajú najmä o skutočnosť, že krivky odumierania klesajú spočiatku rýchlo, v ďalšom priebehu však už pomalšie, takže počet nepoškodených mikroorganizmov klesá pomalšie než to zodpovedá ich proporcionalnému ubúdaniu (Christophersen, 1955). Z toho sa vyvodzuje, že organizmy jednotnej populácie musia mať nerovnakú rezistenciu a zhoda kinetiky odumierania s monomolekulárnymi procesmi je len zdánlivá, založená na tom, že aj bunky nerovnakej rezistencie môžu v prípade rovnomernej distribúcie dať krivku odumierania, ktorej funkcia je geometrický rad. Rovnocennosť buniek čistej kultúry je všeobecne a zvlášt z hľadiska rezistencie — ako sa zdá — skôr pomôckou pracovnej hypotézy než objektívnej skutočnosťou. A naopak, rozdielne vlastnosti buniek čistej kultúry pokusne dokázal Málek (1955) a sami sme na tomto základe vypracovali a aplikovali niektoré nové selekčné postupy (Arpa i, 1957, 1960b).

Aj v predloženej práci sme vychádzali z predpokladu nerovnociestnosti buniek bakteriálnej populácie, pri vysvetlení mechanizmu protirečivého

zjavu, s ktorým sme sa stretávali v pokusoch ako aj v literárnych údajoch. Tento zjav spočíval v tom, že mikróbne kultúry rastú po rozmrázení niekedy pomalšie a inokedy rýchlejšie než kontrola, ktorá neprekonala nízkoteplotnú expozíciu. Deotto (1946) zistil, že krátkodobé zmrazovanie, t. j. zmrazovanie pri  $-2$  až  $-3^{\circ}\text{C}$  trvajúce 20–40 minút spôsobuje u *E. coli* 200–500 % zvýšenie metabolizmu, sledovaného podľa spotreby kyslíka. Súhlasné výsledky získal Deotto aj s inými druhmi baktérií. Tiež Tanguay (1959), podobne ako aj Fanelli a Ayres (1959) dokázali, že v niekoľkých prípadoch bol rast kultúry po zmrazovaní výrazne stimulovaný. Hartseil (1951, 1959) spresnil tento zjav v tom zmysle, že v dĺžke času pôsobenia mrazu videl činiteľa, ktorý určuje kinetiku rastu kultúry po rozmrázení. Podľa neho a v rozporu s Deottovými výsledkami dlhodobé zmrazovanie kultúry stimuluje rast, kým krátkodobé zmrazovanie ho spomaľuje; pritom hovorí, „že z genetického hľadiska došlo k selekcii rýchlorastúcich organizmov“. Sledujúc ďalej túto myšlienku, kladie si otázku, či pred selekčným zásahom nízkej teploty obsahovala čistá kultúra „pomaly“ a „rýchle“ rastúce bunky, poznamenávajúc, že nie je jasné, aký druh genotypického výrazu prislúcha individuálnej rastovej charakteristike. Treba k tomu dodať otázku, či je prípustné rozlišovať bunky s rozdielnymi generačnými časmi v rámci čistej kultúry tak, ako možno z hľadiska generačného času rozlišovať čisté kultúry.

K prvej otázke, týkajúcej sa výskytu rozdielne rýchlo rastúcich buniek v jednotnej mikróbnej populácii zaujmeme principiálne kladné stanovisko. Môžeme ho zdôvodniť na základe pokusných výsledkov starších prác (Arpaia, 1957) a bežným poznatkom, že kolónie čistej kultúry rastú nerovnako rýchlo, čo – samozrejme – nemožno pripisovať výlučne individuálnej rastovej charakteristike jednotlivých buniek. S druhou otázkou, či individuálna rastová charakteristika je na úrovni genotypického znaku, bude sa treba vyrovnáť v ďalších prácach.

V tejto práci sa zameriavame na vysvetlenie zmien rýchlosťi rastu kultúry po nízkoteplotnej expozícii tým, že sme ich uviedli do vzťahu k zmenám v zložení bakteriálnej populácie, ktoré nastali následkom a v závislosti od podmienok zmrazovania. Zložky bakteriálnej populácie sme charakterizovali na základe ich výživových nárokov.

#### Pokusná časť

##### Pracovný postup:

- sledovali sme rast testorganizmov pred nízkoteplotnou expozíciou a po nej,

b) stanovovali sme ukazovatele fyziologického stavu inokula pred zmrzovaním a po zmrzovaní,

c) skúmali sme vzťahy medzi zmenami ukazovateľov fyziologického stavu inokula, podmienkami zmrzovania a kinetikou rastu príslušnej kultúry.

#### M a t e r i á l a m e t ó d y

**O r g a n i z m y :** Bol použitý psychrofilný kmeň *Pseudomonas fluorescens* a mezofilný kmeň *Escherichia coli*. Boli to tie isté kmene, s ktorými sme pracovali už v predchádzajúcich rokoch (Arpa 1961).

**P r í p r a v a b a k t é r i o v e j s u s p e n z i e :** Pred zmrzovaním sa organizmy kultivovali za 18 hodín v skúmavkách s 25 ml bujónu, pri inkubačnej teplote 27 °C pre *Ps. fluorescens* a 37 °C pre *E. coli*. Po tomto čase boli baktérie odstredené, premýté fyziologickým roztokom kuchynskej soli a suspendované do 0,1 % peptónu (pH upravené na 7). Toto suspenzné médium sme zvolili preto, lebo v ňom baktérie počas práce pri izbovej teplote (t. j. pred zmrzovaním a po zmrzovaní) neodumierajú natol'ko ako vo fyziologickom roztoku NaCl, pritom toto médium nevplyva ochranne pri zmrzovaní, t. j. len veľmi málo znižuje jeho účinky na baktérie (Straka a Stokes, 1957). Baktériové suspenzie boli pred zmrzovaním upravené podľa zákalu na koncentráciu 10<sup>9</sup> buniek v ml. Použil sa k tomu štandard, ktorého celkový počet zárodkov sa stanovoval platňcou metódou (Standard Methods, 1955). Zákal kultúry sa meral Langeho kolorimetrom; model UK VII s filtrom BG 7 (644 μ) bol upravený na fotonefelometriu podľa Fagueeta (1935). Súčasne sa odobrala vzorka na stanovenie počtu výživove nepoškodených ( $Na_0$ ) a poškodených ( $Nb_0$ ) buniek.

**Z m r a z o v a n i e a r o z m r a z o v a n i e :** 20 ml-ové množstvá baktériových suspenzií sa zmrzvali v tenkostenných skúmavkách. Každý pokus sa robil súbežne v 3 skúmavkách. Zmrzalo sa pri teplotách -4, -18 a -30 °C, a to pracovnou technikou podrobne opísanou v našich predošlých prácach (Arpa 1961a, b). Dĺžka času zmrzovania bola sčasti 24 hodín a sčasti 5 mesiacov. Pri rozmrzovaní sa skúmavky ponorili do vodného kúpeľa s teplotou 25 °C na čas, kym teplota suspenzie nevystúpila na 1-2 °C, čo trvalo len niekoľko minút.

**S t a n o v e n i e r o z s a h u p o š k o d e n i a b u n i e k :** Postupovalo sa zásadne podľa metodiky, ktorú vypracovali Straka a Stokes (1959). V ml. suspenzie sa stanovoval počet buniek schopných rastu na minimálnej pôde; tieto bunky sa hodnotili ako výživove nepoškodené a označovali sa pred zmrzovaním  $Na_0$ , po zmrzovaní  $Nat$ . Súbežne sa

stanovoval počet kolónií na obohatenej pôde. Na základe rozdielu sa výčislil počet buniek v ml suspenzie, ktoré sa diferencovali zvýšenými požiadavkami na výživu. Počet týchto buniek sa označil u nezmrazenej kontroly  $Nb_0$ , po zmrazení  $Nb_t$ .

Zloženie minimálnej pôdy:  $K_2HPO_4 = 0,7\%$ ;  $KH_2PO_4 = 0,3\%$ ;  $Na-citrát \cdot 2 H_2O = 0,01\%$ ;  $MgSO_4 \cdot 7 H_2O = 0,01\%$ ;  $(NH_4)_2 SO_4 = 0,1\%$ ; glukóza (oddelené sterilizovaná) = 0,2%; pH upravené na 6,8.

Ako obohatená pôda sa použil enzymatický natrávený bujón, resp. MPA podľa Motyla (1958), pH 6,8.

Zo stanovených hodnôt sa vypočítal počet buniek usmrtených mrazom

$$Nc = (Na_0 + Nb_0) - (Na_t + Nb_t)$$

Ďalej sa zaviedli pomerné čísla (kvóty) jednotlivých, výživove definovaných zložiek baktériovej populácie na celkovom počte buniek pred zmrazením (v kontrole).

Boli to:

a<sub>o</sub>... percentuálny podiel nepoškodených buniek v kontrole:

$$a_o = \frac{Na_0}{Na_0 + Nb_0} \cdot 100$$

b<sub>o</sub>... percentuálny podiel poškodených buniek v kontrole:

$$b_o = \frac{Nb_0}{Na_0 + Nb_0} \cdot 100$$

c ... percentuálny podiel zmrazením usmrtených buniek:

$$c = \frac{Nc}{Na_0 + Nb_0} \cdot 100$$

a<sub>t</sub>... percentuálny podiel zmrazením nepoškodených buniek:

$$a_t = \frac{Na_t}{Na_0 + Nb_0} \cdot 100 \quad (= \frac{Na_t}{Na_t + Nb_t + Nc} \cdot 100)$$

b<sub>t</sub>... percentuálny podiel zmrazením poškodených buniek:

$$b_t = \frac{Nb_t}{Na_0 + Nb_0}$$

Na zvýraznenie presunov, ku ktorým došlo následkom zmrazenia medzi zložkami baktériovej populácie definovanými na základe svojich výživových vlastností slúžili pomerné čísla vzťahované na celkový podiel buniek prežívajúcich nízkoteplotnú expozíciu a na príslušnú kvótu kontroly. Boli to:

$a_{tl}$  ... pomer kvóty nepoškodených buniek po zmrazovaní ku celkovej kvóte prežívajúcich buniek:

$$a_{tl} = \frac{a_t}{a_t + b_t} \cdot 100$$

$b_{tl}$  ... pomer kvóty poškodených buniek po zmrazovaní ku celkovej kvóte prežívajúcich buniek:

$$b_{tl} = \frac{b_t}{a_t + b_t} \cdot 100$$

$a_p$  ... pomer kvóty nepoškodených buniek po zmrazovaní ku príslušnej kvóte kontroly:

$$a_p = \frac{a_t}{a_0} \cdot 100$$

$b_p$  ... pomer kvóty poškodených buniek po zmrazovaní ku príslušnej kvóte kontroly:

$$b_p = \frac{b_t}{b_0} \cdot 100$$

Vzájomný pomer oboch definovaných zložiek baktériovej populácie sa označil, resp. vypočítal u kontroly ako  $P_o = \frac{a_0}{b_0} \cdot 100$ , po zmrazovaní a  $P_t = \frac{a_t}{b_t} \cdot 100$ . Zmenu vo vzťahu týchto pomerov, vyvolanú účinkami zmrazovania sme opäť vyjadrili ako  $P_p = \frac{P_t}{P_o} \cdot 100$ . Ďalšie ukazovatele,

ktoré vyplynuli z postupu vyhodnocovania výsledkov, uvádzame v časti o výsledkoch.

Sledovanie rastu. Inokulum sa pripravilo z rozmrazenej baktériovej suspenzie odstredením, usadenina sa premyla, znova odstredila a riedila pomocou tekutej pôdy:

1. minimálnej = M
2. obohatenej (natráveným bujónom) = O
3. bujónom (obyčajným) = B

Stanoval sa počet buniek výživove nepoškodených ( $N_{at}$ ), i počet buniek výživove poškodených ( $N_{bt}$ ); koncentrácia sa upravila na celkový počet  $\approx 10^6$  buniek/ml. Podobne sa upravila aj počiatočná hustota nezmrazených

zárodkov ( $X_0$ ) u kontroly. Kultivačné podmienky boli také isté ako počas prípravy baktériovej suspenzie pred zmrazovaním. Rast sa sledoval v hodinových intervaloch biofotometrickou metódou, ktorú vypracovali Lambin, German a Bernard (1961). Rastové krivky sa kalibrovali na celkový počet baktérií stanovený priamym bakterioskopickým počítaním. Zo súradnicového systému, v ktorom na abscise bol vyznačený čas inkubácie a na ordinátoch stupnice percentuálnej pripustnosti svetla ako aj korelované hodnoty celkového počtu buniek v ml kultúry previedli sa exponenciálne časti rastových kriviek do semi-logaritmickej sústavy, čím dostávali tvar priamok.

Pri sledovaní vplyvu zmrazovania na rýchlosť rastu testorganizmov sa vychádzalo zo stanovenia času ( $t$ ) potrebného na to, aby sa kultúry z počiatocnej koncentrácie ( $X_0$ ) rozmnožili na ľubovoľne zvolenú koncentráciu, ležiacu v rozsahu exponenciálnej fázy rastu ( $X_t$ ), ktorú sme si zvolili ( $5 \cdot 10^9$  buniek/ml). Rozdiel medzi dĺžkou času narastania kultúry po zmrazovaní a časom narastania kontroly (kultúry pred zmrazovaním) vyjadrila hodnota  $D$  v minútach. Percentuálny pomer dĺžky času narastania kultúry ku príslušnej hodnote kontroly sme označili hodnotou  $Q$ . Z toho vyplýva, že hodnota  $D$  zodpovedala súčtu všetkých parciálnych rozdielov ( $d$ ) pri jednotlivých deleniach v exponenciálnej fáze. Hodnotu  $D$  bolo možno priamo odčítať tým, že sa na grafoch rastových kriviek viedla čiara paralelne s abscisu vo výške hodnoty  $X_t$ . Hodnota  $D$  je teda priamo úmerná počtu delení ( $n$ ) potrebných na to, aby z počiatocnej koncentrácie buniek ( $X_0$ ) vzišla koncentrácia ( $X_t$ ). Podľa toho platí rovnica  $D = d \cdot n$ , z ktorej možno vypočítať  $d = \frac{D}{n}$ , keď je známe  $n$ .

K hodnote  $n$  sa možno dostať použitím základného vzorca pre výpočet intervalu medzi dvoma deleniami podľa Buchnera ( $X_t = X_0 \cdot 2^n$ , resp.  $n = \frac{\log X_t - \log X_0}{\log 2}$ ). Generačný čas vyjadrený v minútach (g) sa vypočítal podľa toho, že  $n = \frac{t}{g}$ , resp.  $g = \frac{t}{n} = \frac{t \cdot \log 2}{\log X_t - \log X_0}$ .

### Štatistické výhodnenie

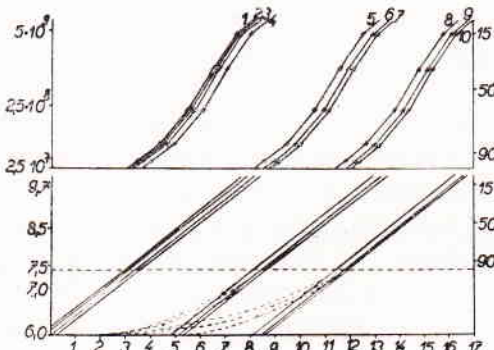
V prípadoch, že rozptyl 3 súbežných výsledkov bol štatisticky bezvýznamný, bral sa na ďalšie výhodnenie ich aritmetický priemer. Významnosť rozdielov a vzťahov sa štatisticky hodnotila podľa Weborovej (1957) pri konvenčnej hranici  $P < 0,05$ .

## Výsledky a výhodnotenie

Konformne k troma etapám pracovného postupu vyhodnocujeme výsledky v troch skupinách:

a) Vyhodnotenie rastových kriviek ukázalo, že ich možno rozdeliť zhruba na dva typy.

I. typ rastových kriviek sa vyznačoval súbežným priebehom vzhľadom na kontrolu, ako vidieť z obrazu 1 aj 2. To znamená, že im prislúchajúce kultúry mali rovnakú exponenciálnu rýchlosť rastu ako kontrola, od



1 Rastové krivky I. typu u testorganizmu *E. coli* po jednodennej expozícii pri teplote  $-4$ ,  $-18$ ,  $-30$   $^{\circ}\text{C}$  v prostredí O, B, M.

Krivka	1	2	3	4	5	6	7	8	9	10
Teplota	-30	-30	K	K	-18	-18	-18	-4	-4	-4
Médium	O≈B	M	O≈B	M	O	B	M	O	B	M

Na osi úsečiek: čas v hodinách; na osi poradníc vpravo dole: prepustnosť svetla v % na logaritmickej stupnici; vľavo dole: počet buniek v ml na logaritmickej stupnici. Na hornom grafe to isté s lineárne delenými poradnicami.

ktorej sa odlišovali len rozdielnym časom latencie. O trvaní latentnej fázy teoreticky platí, že môže byť podmienené tým, že k deleniu buniek nedochádza (skutočný lag), alebo že toto delenie v počiatočnej fáze zrýchleného rastu prebieha v metodicky nesledovateľnej oblasti (zdanlivý lag). Pri prepise I. typu rastových kriviek do semilogaritmickej sústavy sme dostali priamky navzájom rovnobežné, ktoré sú na grafoch hrubo vyznačené. Priamky prislúchajúce kultúram vyrasteným z nezmrazeného inokulu v bujóne a obohatenom médiu, napr. u *E. coli* kontroly  $K_o = K_b$  u *Ps. fluorescens*  $K_o = K_b = K_M$ , po predĺžení do nemerateľnej oblasti, ktoré sú na grafoch vyznačené tenkou čiarou, pretínajú

Pokusné podmienky			Ukazovatelia fyziolog. stavu inokula a jeho zmien následkom zmrazovania podľa priemerných hodnôt																
Test-organizmy	Doba zmrazovania v dňoch	Teplota zmrazovania °C	pre kvótu buniek								pomery			„selekčné faktory“		príklady jednotlivých ve			
			nepoškodených		poškodených			mŕtvych			P <sub>t</sub>	P <sub>p</sub>	P <sub>tl</sub> = $\frac{a_{tl}}{b_{tl}} \cdot 100$	P <sub>t</sub> · e	P <sub>p</sub> · e	P <sub>o</sub> = $\frac{P_t}{P_p} \cdot a_p$	P <sub>o</sub> = $\frac{P_t (a_p + b_p)}{b_o}$	$\frac{a_{tl}}{b_{tl}} \cdot 100$	$\frac{b_{tl}}{b_o} \cdot 100$
1	2	3	4	5	6	7	8	9	10	11	12	13	14	15	16	17	18	19	
<i>E. coli</i>	Kontrôla		a <sub>0</sub> = 88,3				b <sub>0</sub> = 11,7				P <sub>o</sub> = 750								
	1	— 4	29,1	36,6	32,9	50,5	63,4	433,0	20,4	57,6	7,47	56,78	1 165,0	152,4	0,396	0,028	41,4	545,0	
		—18	4,7	31,1	5,3	10,4	68,9	88,8	84,9	45,5	6,06	45,1	3 865,0	514,1	3,07	0,175	35,2	413,0	
		—30	5,8	42,0	6,6	8,0	58,0	68,4	86,2	72,5	9,67	72,4	6 250,0	834,0	1,28	0,135	52,2	452,0	
	150	— 4	0,08	88,9	0,09	0,01	11,1	0,08	99,9	800,0	106,5	801,0	79 700,0	10640,0	10,4	5,36	10,5	94,0	
		—18	0,11	57,8	0,12	0,08	42,2	0,68	99,8	137,0	18,3	137,0	13 680,0	1821,2	45,6	6,845	65,4	360,5	
		—30	0,20	57,2	0,22	0,15	42,8	1,27	99,6	133,0	17,7	136,0	13 250,0	1768,3	25,6	3,98	64,8	365,5	
<i>Ps. fluorescens</i>	Kontrôla		a <sub>0</sub> = 92,6				b <sub>0</sub> = 7,4				P <sub>o</sub> = 1250								
	1	— 4	73,3	87,5	79,2	10,5	12,5	142,0	16,2	698,0	55,8	697,0	11 310,0	904,0	0,031	0,009	89,2	235,0	
		—18	22,4	47,2	24,2	25,1	52,8	339,0	52,5	89,2	7,14	89,3	680,0	393,0	0,58	0,036	50,6	714,0	
		—30	25,3	45,4	27,6	30,4	54,6	411,0	44,3	83,2	6,65	83,1	3 684,0	294,5	0,55	0,034	49,05	732,0	
	150	— 4	2,1	18,9	2,26	4,7	81,1	63,5	93,2	44,7	3,58	23,3	4 166,0	337,0	12,35	0,425	20,4	1095,0	
		—18	0,18	78,3	0,18	0,05	21,7	0,68	99,8	360,0	28,8	361,0	35 900,0	2870,0	19,3	4,09	84,9	293,0	
		—30	0,92	79,7	0,97	0,23	20,3	2,65	98,9	390,0	31,2	392,5	38 510,0	3082,0	3,2	1,03	86,3	274,0	
Stat. korelácia ukazovateľov fyziol. stavu a rýchlosť rastu (koeficient r)			0,32	0,04	0,24	0,33	0,31	+ —0,59	—0,15	0,02	—0,22	++ —0,83	(++) —0,75	0,20	(+) —0,38	—0,07	0,01		

(+) — + slabo signifikantné ( $P > 5\%$ )

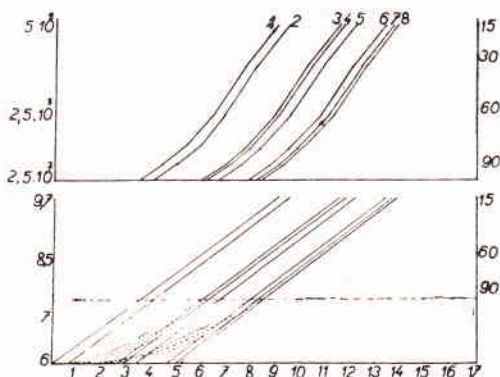
(++) — ++ signifikantné ( $P \leq 5\%$ )

zovania podľa priemerných hodnôt meraní:

Úkazovatelia rýchlosť rastu kultúry:

xené ory"	príklady jednotlivých veličín						Typ fyziologic- kého stavu inokula	Typ rasto- vej krivky kul- túry	Ø D	Q	G variač. roz pätie	$\bar{g}/tg\alpha$ priemer	gex/tg $\alpha_{ex}$ priemer
	P <sub>p</sub> , c	$P_o$	$P_o$	$P_t(a_p + b_p)$	$\frac{a_{tl}}{a_o} \cdot 100$	$\frac{b_{tl}}{b_o} \cdot 100$	$\frac{a_{tl} \cdot b_o}{a_o \cdot b_{tl}}$						
15	16	17	18	19	20	21	22	23	24	25			
						a > b		510		41 — 43,5	42,5	42,5	
152,4	0,396	0,028	41,4	545,0	7,6	c ≤ 99, a < b	I.	490	196,0	81 — 84,5	0,7536	0,7536	
514,1	3,07	0,175	35,2	413,0	8,54	c ≤ 99, a < b	I.	310	160,8	65,5 — 68,5	83,3	42,5	
834,0	1,28	0,135	52,2	452,0	11,55	c ≤ 99, a < b	I.	—20	96,1	40 — 42	0,3574	0,7536	
10640,0	10,4	5,36	10,5	94,0	11,05	c ≥ 99, a > b	II.	—70	90,6	35,5 — 37,5	67,5	42,5	
1821,2	45,6	6,845	65,4	360,5	18,1	c ≥ 99, a > b	II.	—20	96,1	40,5 — 42	0,4663	0,7536	
1768,3	25,6	3,98	64,8	365,5	17,7	c ≥ 99, a > b	II.	—40	92,1	36,5 — 40	41,6	42,5	
						a > b		540		44 — 45,5	0,7813	0,7813	
904,0	0,031	0,009	89,2	235,0	37,8	c ≤ 99, a > b	I.	30	109,2	46,5 — 48,5	36,6	29,4	
393,0	0,58	0,036	50,6	714,0	7,09	c ≤ 99, a < b	I.	150	127,9	57 — 60,5	0,8541	0,8693	
294,5	0,55	0,034	49,05	732,0	6,7	c ≤ 99, a < b	I.	270	150,0	66 — 70,5	41,6	23,4	
337,0	12,35	0,425	20,4	1095,0	1,86	c ≤ 99, a < b	I.	190	135,2	60 — 61	0,7813	1,4193	
2870,0	19,3	4,09	84,9	293,0	29,0	c ≥ 99, a > b	II.	—40	92,6	41 — 42,5	39,3	26,0	
3082,0	3,2	1,03	86,3	274,0	31,5	c ≤ 99, a > b	II.	—80	85,2	37 — 39,5	0,7885	1,197	
3 (+ +)	(+)	(+)	(+)	(+)	(+)						45,0	45	
—0,75	0,20	—0,38	—0,07	0,01	—0,02						0,7310	0,7310	

stupnicu ordináty v bode zodpovedajúcim hodnote počiatkej koncentrácie kultúry: 6 ( $\log 10^6$  buniek/ml.). Pri *E. coli* priamka prislúchajúca kontrole, rastúcej na minimálnej pôde ( $K_M$ ), pretína ordinátu v bode 5,5, čo možno hodnotiť ako slabo signifikantnú odchyľku. To znamená, že pri sledovaných pokusoch rast kontroly prebiehal úplne od začiatku podľa kinetiky, ktorá je znázornená priamkou. Z toho vyplýva, že „latentná fáza“, ako sa javí u rastových kriviek kontroly, je zdanlivá a podmienená prahom citlivosti meracej aparátu. Možno teda konštatovať, že za daných metodických podmienok kontrola rástla bez latentnej fázy.

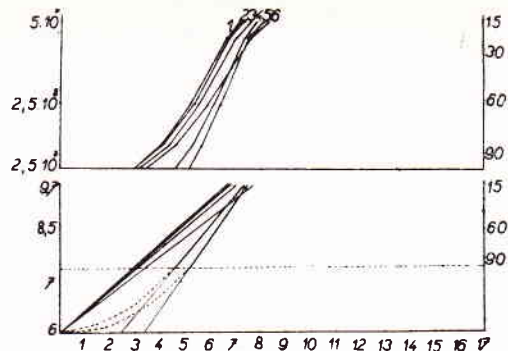


2. Rastové krivky I. typu u testorganizmu *Ps. fluorescens* po jednodennej expozícii pri teplote  $-4$ ,  $-18$ ,  $-30$  °C a po 150 dennej expozícii pri teplote  $-4$  °C.

Krivka	1	2	3	4	5	6	7	8
Teplota	K	$-4$	$-18$	$-18$	$-4$	$-30$	$-30$	$-30$
Médium	$O \approx B \approx M$	$O \approx B \approx M$	$O \approx B$	M	$O \approx B \approx M$	O	B	M

Ostatné označenia ako na obr. 1.

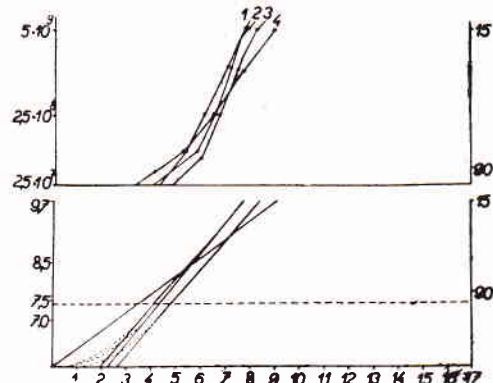
Kultúry vyrastené zo zmrazeného inokula mali rozdielne dlhé latentné fázy. Či išlo o skutočný alebo zdanlivý lag, nedalo sa použitou metodikou stanoviť. Štúdium tejto problematiky bude predmetom ďalšej práce. Tu len konštatujeme, že delenie buniek sa bud' skutočne oddialilo, keďže baktérie po nízkoteplotnej expozícii sa ľahšie adaptovali, potrebujúc dlhší čas na začatie rastu a prechodu do fázy zrýchleného rozmnožovania, alebo bolo rozmnožovanie vo fáze zrýchlenia pod prahom metodickej záchytnosti výrazne pomalšie než vo vyhodnocovacom úseku rastovej krivky. Tieto dve alternatívy sú graficky znázornené na obr. 1–4. Skutočný lag vidieť z predĺženia priamky zo sledovanej oblasti rastu do nemerateľnej oblasti po priesčenik s abscisou s časovou stupnicou, na



3. Rastové krivky II. typu u *E. coli* po 150 dennej expozícii pri teplote  $-4$ ,  $-18$ ,  $-30$   $^{\circ}\text{C}$

Médium	1	2	3	4	5	6
Teplota	$-4$	$-4$	$-30$	$-30$	$-18$	K
Krivka	O	B≈M	O≈B	M	O≈B≈M	O≈B≈M

Ostatné označenia ako na obr. 1.



4. Rastové krivky II. typu u *Ps. fluorescens* po 150 dennej expozícii pri teplote  $-18$  a  $-30$   $^{\circ}\text{C}$ .

Krivka	1	2	3	4
Teplota	$-30$	$-30$	$-18$	K
Médium	O≈B	M	O≈B≈M	O≈B≈M

Ostatné označenia ako na obr. 1.

ktoréj sa dá priamo odčítať dĺžka trvania lagu. Charakter zdanlivého lagu je znázornený bodkovanou čiarou. Osobitne sa treba zmieniť o prípade, keď kultúra *E. coli*, ktorá vzišla z inokula vystaveného teplote  $-30^{\circ}\text{C}$  počas 1 dňa, rástla o niečo rýchlejšie ako kontrola, majúc pritom tvar rastovej krivky I. typu. Podobný jav opísal už Hartsell (1959), bližšie ho však nevysvetlil. Vzhľadom na to, že skrátenie lag fázy v porovnaní s kontrolou je na základe uvedeného vylúčené, možno si polohu rastovej krivky vysvetliť iba na základe zvýšenej rýchlosťi delenia v nesledovateľnom úseku počiatočnej rastovej fázy. To však predpokladá, že zmrazovanie vyvolalo zmeny vo fyziológii, resp. v zložení baktériovej populácie, z ktorej sa vyselektovali rýchlejšie rastúce organizmy. Baktérie s touto fyziologickou vlastnosťou si však pravdepodobne svoju dominantiu pre výživové ľažnosti neudržali, resp. sa ďalej tak rýchlo ne-rozmnožovali a tak kultúra pokračovala v raste takou rýchlosťou ako kontrola.

II. typ rastových kriviek charakterizuje rozdielna exponenciálna rýchlosť vo vzťahu ku kontrole. To vyplýva už z toho, že rastové krivky, resp. ich priamočiare prepisy neprebiehali rovnobežne s kontrolou. Prítom platilo, že priamky po predĺžení uzavierali s abscisou uhol ( $\alpha_{ex}$ ), ktorý je funkciou exponenciálnej rýchlosťi rastu, t. j. nepriamo úmerný generáčnému času v sledovanom úseku rastu ( $g_{ex}$ ). Táto hodnota nie je závislá od dĺžky lagu, ktorá sa u kriviek II. typu principálne nelíšila od charakteru lagu kriviek typu I., t. j. aj v tomto prípade sa lag následkom zmrazovania mohol skutočne alebo zdanlive zmeniť. Podľa toho  $g_{ex}$  sa za podmienok, keď kultúra rástla s lag fázou, odlišovala od hodnoty  $g$  vypočítanej podľa opísanej metodiky z úseku  $X_0 \rightarrow X_t$ , z čoho vyplýva, že veľkosť hodnoty  $g$  je podmienená trvaním lag fázy. Pre  $g$  prislúchal uhol  $\alpha_g$ , ktorý sa dal zostrojiť tým, že sa od bodu rastovej krivky ležiacej vo výške koncentrácie  $X_t$  viedla priamka do počiatočného bodu zodpovedajúceho koncentráciu  $X_0$ . Uvedené možno zhrnúť ako:

$$\operatorname{tg} \alpha_{ex} = f(g_{ex}) ; \text{ nezávislý na lagu,}$$

$$\operatorname{tg} \alpha_g = f(g) : \text{závislý na lagu.}$$

Tieto vzťahy sa použili v ďalšom pri charakterizácii rastu kultúr a sledovaní jeho závislosti na podmienkach zmrazovania a fyziologických ukazovateľov inokula. Pri štatistickom vyhodnotení tejto korelácie sa využila výhoda bezprostrednej stanovovateľnosti veľkosti uhlov oproti hodnotám  $g$ , ktoré treba vypočítať.

Rastové krivky I. typu mali obvykle kultúry *E. coli* ako aj *Ps. fluorescens* po jednodennom zmrazovaní bez ohľadu na teplotu zmrazovania, ktorá v týchto prípadoch ovplyvňovala iba dĺžku lagu, ako vidieť z obra-

zov 1 – 2. Po 150-dennom zmrazovaní rástla podľa rastovej krivky I. typu iba kultúra *Ps. fluorescens*, vystavená teplote  $-4^{\circ}\text{C}$ . U testorganizmov *E. coli* sa predĺžil lag najviac po zmrazovaní pri  $-4^{\circ}\text{C}$ , menej pri  $-18^{\circ}\text{C}$ , kým pri  $-30^{\circ}\text{C}$  došlo k javu, ktorý sme už spomenuli, totiž, že kultúra rástla o niečo rýchlejšie ako kontrola. *Ps. fluorescens* reagoval všeobecne v menšej miere na vplyvy zmrazovania ako *E. coli*, čo si možno vysvetliť rozdielmi cryosenzitivity. Pomerne najdlhšie zdržanie rastu testorganizmu *Ps. fluorescens* spôsobilo jednodenné zmrazovanie pri  $-30^{\circ}\text{C}$ , len o málo kratší bol lag po 150 dennom zmrazovaní pri  $-4^{\circ}\text{C}$  a po jednodennom zmrazovaní pri  $-18^{\circ}\text{C}$ . Krátkodobé zmrazovanie pri  $-4^{\circ}\text{C}$  pôsobilo však len bezvýznamné zvýšenie hodnoty  $g$  pri nezmenenej hodnote  $g_{ex}$  ako to vo všeobecnosti zodpovedá typu I. Vplyv zloženia kultivačného média sa v prípadoch, kde bol rast charakterizovaný I. typom krivky prejavil v tom, že v pôde obohatenej hydrolyzátmami a látkami vitamínovej povahy rástli kultúry s kratším lagom ako v pôde minimálnej. O uvedenom podrobnejšie orientujú ukazatelia rastu v tabuľke 1.

Rastové krivky II. typu sú znázornené na obrazoch 3 a 4. Patria kultúram, ktoré vyrástli z inokúl dlhodobe zmrazovaných. V týchto prípadoch sa po zmrazovaní fáza lag zmenila, resp. aj nezmenila; exponenciálna rýchlosť rastu vzrástla však vždy. Najvýraznejšie zrýchlenie rastu spôsobilo dlhodobé zmrazovanie *E. coli* pri  $-4^{\circ}\text{C}$  ako vidieť z grafu na obr. 3. Došlo tu ku skráteniu generačného času v exponenciálnej fáze ( $g_{ev}$ ), pri nezmenenom, resp. nulovom lagu. Dlhodobé zmrazovanie malo aj pri ďalších teplotách za následok stimuláciu rastu kultúry *E. coli*, ktorá sa prejavila vo vzťahu ku kontrole aj napriek tomu, že kultúry vyrástli po istom trvaní lagu. *Ps. fluorescens* reagoval aj v tomto prípade s menšími výkyvmi na zmrazovanie, čo zodpovedalo našej predstave o všeobecnom význame cryorezistencia pre efekty nízkych teplôt. Ale aj pritom bolo možné zaznamenať vzostup rýchlosťi rastu po dlhodobom zmrazovaní, ktorý záležal v skrátení generačného času  $g_{ev}$  pri miernom predĺžení latenčnej fázy vo vzťahu ku kontrole. Účinky zmrazovacích teplôt  $-18$  a  $-30^{\circ}\text{C}$  sa od seba významou mierou neodlišovali.

Pri sledovaní vplyvu dlhodobého zmrazovania sme nespozorovali rozdiely v kinetike rastu v rôznych živných prostrediach, menovite nie v tom zmysle, že by rast v minimálnej pôde bol pomalší. Platí to pravda len pre kultúry rastúce podľa charakteristiky II. typu.

b) Stanovenie fyziologických ukazovateľov inokula a ich zmien následkom zmrazovania sa robilo so zameraním na pracovnú hypotézu opierajúcú sa o výsledky predchádzajúcich prác (Arpaia, 1961a, c), ktorú možno vyjadriť takto:

ad 1. zmeny fyziologického prejavu kultúry sú späť so zmenami vzájomného pomeru zložiek fyziologicky plnohodnotných a menejcenných organizmov bakteriálnej populácie;

ad 2. že bunky bakteriálnej populácie sú nerovnako rezistentné, pričom najodolnejšie sú súčasne aj fyziologicky najaktívnejšie, resp. rastú najrýchlejšie;

ad 3. z uvedeného sa usudzuje, že fyziologická aktivita kultúry je tým vyššia, čím menší bude podiel poškodených buniek a selekčný zásah je tým účinnejším, čím bude menší podiel nepoškodených prežívajúcich organizmov, t. j. pri ideálnej, maximálne účinnej selekcii iba jedna nepoškodená bunka by mala selekčný zásah prežiť.

Pokusné práce zamerané na 1. bod vychádzali zo stanovenia počtu baktérií s normálnymi ( $N_{a_0}$ ,  $N_{at}$ ) a so zvyšnými nárokmi na živiny ( $N_{b_0}$ ,  $N_{b_t}$ ), resp. z počtu mrazom usmrtených buniek. Postupujúc podľa metodiky sme vypočítali z nameraných hodnôt ukazovatele na výjadrenie:

a) podielu definovaných zložiek bakteriálnej populácie v celkovom počte zárodkov ( $a_0$ ,  $b_0$ ,  $c$ ,  $a_t$ ,  $b_t$ ) a v kvóte buniek prežívajúcich zmrazovanie ( $a_u$ ,  $b_u$ );

b) vzťahu týchto hodnôt k príslušným hodnotám kontroly ( $a_p$ ,  $b_p$ ).

Obdobným spôsobom sme vyčislili aj vzájomné vzťahy oboch definovaných zložiek bakteriálnej populácie ( $P_o$ ,  $P_t$ ) a zmeny týchto vzťahov následkom zmrazovania ( $P_p$ ).

Experimentálному štúdiu hypotézy vyslovej v bodoch 2 a 3 slúžili ukazovatele, ktoré sme zostrojili na základe úvahy, že relatívne hodnoty vyjadrujúce vzájomné vzťahy definovaných zložiek a zmeny týchto vzťahov budú korelované so zmenami fyziologických prejavov kultúry len v prípade, že tie ukazovatele sa uvedú do funkčného vzťahu s kvótou selekčne vylúčených, t. j. odumretých organizmov ( $c$ ). To sa dalo v primitívnej forme realizovať vynásobením hodnôt  $P_t$  alebo  $P_p$  kvótou usmrtených buniek ( $c$ ).

Pokusne získané výsledky spracované do uvedených ukazovateľov sú zostavené do tabuľky 1. Z nich vidieť:

Krátkodobé zmrazovanie pôsobilo pri  $-4^{\circ}\text{C}$  na *E. coli* len v malej miere letálne ( $c \approx 20\%$ ), pričom medzi prežívajúcimi baktériami došlo k výraznému zvýšeniu podielu poškodených organizmov, vyčíslené ukazovateľom  $b_p$  na 433 %, na ktorých dominanciu v kultúre ukazuje  $b_u$  hodnotou  $\approx 63\%$ . Zmrazovacie teploty  $-18$  a  $-30^{\circ}\text{C}$  usmrtili za tých istých pokusných podmienok už vyše 80 % baktérií coli. Medzi prežívajúcimi baktériami aj v tomto prípade nadobudli prevahu poškodené bunky. Medzi účinkami zmrazovania pri  $-18$  a  $-30^{\circ}\text{C}$  sa javil rozdiel

v tom, že pri  $-18^{\circ}\text{C}$  kvóta usmrtených buniek bola o málo nižšia, kým kvóta poškodených pomerne vyššia ako pri  $-30^{\circ}\text{C}$ . Inými slovami po zmrzovaní pri  $-30^{\circ}\text{C}$  pri menšom počte prežívajúcich buniek bol podiel nepoškodených buniek vyšší. Krátkodobé zmrzovanie pri  $-4^{\circ}\text{C}$  vplývalo na *Ps. fluorescens* letálne v ešte menšej mieri než na *E. coli* ( $c \approx 16\%$ ), pričom sa cryorezistencia pseudomonasu výrazne prejavila v tom, že medzi prežívajúcimi organizmami si nepoškodené bunky zachovali v populácii svoju vysokú dominanciu ( $a_u \approx 87\%$ ) keďže pokles kvóty nepoškodených buniek bol v porovnaní s kontrolou ako vidieť z hodnoty  $a_p$ , nízky, t. j. činil len asi 20 %. Zniženie zmrzovacej teploty na  $-18$ , resp.  $-30^{\circ}\text{C}$  spôsobilo, že asi polovica exponovaných organizmov uhynula. Medzi prežívajúcimi organizmami došlo k veľmi slabej dominancii poškodených buniek, ktoré ako vidieť z hodnôt  $b_u$  predstavovali po  $-18^{\circ}\text{C}$  asi 53 % a po  $-30^{\circ}\text{C}$  asi 55 % živých buniek.

Dlhodobé zmrzovanie pri  $-4^{\circ}\text{C}$  spôsobilo u testorganizmu *E. coli* maximálne odumieranie. Medzi prežívajúcimi bunkami, ktorých celková kvóta nepresahovala 0,1 %, bolo skoro 90 % nepoškodených. Pri nižších teplotách, t. j.  $-18$  a  $-30^{\circ}\text{C}$  vystúpila celková kvóta prežívajúcich buniek na 0,2 %, resp. 0,4 %, pričom podiel nepoškodených buniek poklesol až na  $\approx 57\%$  ako to vyplýva z hodnôt  $a_u$ . Bunky *Ps. fluorescens* zmrzované po rovnako dlhý čas pri  $-4^{\circ}\text{C}$  zostali na žive v rozsahu asi 7 %, súčasne došlo k presunu výživove definovaných zložiek v tom zmysle, že podiel poškodených buniek vzrástol na vyše 80 %. Teplota  $-18^{\circ}\text{C}$  usmrtila po 150 dňoch až 99,8 % buniek, medzi prežívajúcimi bunkami prevládali nepoškodené bunky, ktoré reprezentovali  $\approx 78\%$  bakteriálnej populácie. Účinok teploty  $-30^{\circ}\text{C}$  sa bezvýznamne odlišoval od účinkov  $-18^{\circ}\text{C}$  v tom, že kvóta uhynutých buniek bola asi o 1 % nižšia, kým pomer nepoškodených buniek k poškodeným bunkám bol opäť zhruba 8 : 2.

c) Medzi zmenami ukazovateľov fyziologického stavu inokula, podmienok zmrzovania a kinetiky rastu sme nášli tieto vzťahy:

1. *E. coli*, ako cryosenzitívny typ bol už po krátkodobom zmrzovaní do značnej miery letálne poškodený, vždy však výrazne  $< 99\%$ , pritom medzi prežívajúcimi organizmami prevládali viac alebo menej významne výživove poškodené bunky (charakteristika  $c \leq 99$ ,  $a < b$ ). Po dlhodobom pôsobení nízkych teplôt činilo odumieranie  $> 99\%$ , pričom medzi prežívajúcimi bunkami prevládali vždy i keď nerovnakou mierou výživove nepoškodené bunky ( $c \geq 99\%$  a  $> b$ ). *Ps. fluorescens* ako cryoresistentný typ, po krátkodobom zmrzovaní uhynul len v pomerne malej mieri bez významných zmien v zložení populácie ( $c \leq 99$ ,  $a > b$ ). Len pri hlbších zmrzovacích teplotách sa zmenil pomer definovaných zložiek

baktériovej populácie v prospech nepoškodených buniek ( $c \leq 99$ ,  $a < b$ ), rovnako tomu bolo aj pri dlhšie trvajúcom zmrazovaní pri  $-4^{\circ}\text{C}$ . Na proti tomu nižšie zmrazovacie teploty za týchto podmienok pôsobili na  $\approx 99\%$  letálne, pričom medzi preživajúcimi bunkami získali nepoškodené bunky prevahu ( $c \geq 99$ ,  $a > b$ ).

Mnohostranne podmienené vzťahy medzi pôsobením nízkych teplôt a fyziologickým stavom bakteriálnej populácie sa uvedeným spôsobom pre dané metodické podmienky pri premennej teplote a dĺžke zmrazovania, ako aj pri špecifickej cryorezistencii testorganizmov zužujú na 4 alternatívy, resp. charakteristiky:

$$\text{I.: } c \leq 99, a < b$$

$$\text{Ia: } c \leq 99, a > b$$

$$\text{II.: } c \geq 99, a > b$$

$$\text{IIa: } c \geq 99, a < b$$

z nich iba prípad IIa sa v našich pokusných podmienkach, resp. výsledkoch nevyskytol.

2. V prípadoch, keď sa na očkovanie použili bakteriálne suspenzie, ktorým po zmrazovaní prislúchala charakteristika  $c \geq 99$ ,  $a > b$  (II) kultúry mali rastové krivky II. typu. Exponenciálna rýchlosť ich rastu bola vyššia ako u kontroly. Túto stimuláciu sme si vysvetlili na základe selekcie rýchlejšie rastúcich organizmov, o ktorých predpokladáme, že patria k najviac cryorezistentnej časti kultúry. Podiel takýchto organizmov v kultúre je pravdepodobne veľmi nízky a preto aby sa nimi ovplyvnil celkový fyziologický prejav kultúry bude asi treba usmrtiť  $> 99\%$  populácie.

Kvantitatívna miera stimulácie, priamo viditeľná z polohy rastových kriviek a vyčíslená ukazovateľmi rýchlosťi rastu v tabuľke ( $D$ ;  $Q$ ;  $g_{ex}$ , resp.  $tgc_{ex}$ ;  $g_{ex}(g)$ ) sa štatisticky analyzovala na stupeň korelácie (Pearsonov test) s jednotlivými ukazovateľmi fyziologického stavu a zmien inokula. Ako vidieť z tabuľky pomerne najvyššia signifikantnosť korelácie sa javí s ukazovateľom  $P_t.c$ ; o niečo nižšia je s ukazovateľom  $P_p.c$ . Zostavili sme celý rad ďalších ukazovateľov, v ktorých sme sa snažili rozlišovať váhu číselnej hodnoty definovanych zložiek kultúry ich umiestnením vo vzorci ako činitel', deliteľ', delenec alebo exponent a dať im špecifickú funkciu zavádzaním konštant. Hodnoty vypočítané podľa niektorých jednoduchších vzorcov sú aj v tab. 1, ďalšie hodnoty zložitejších ukazovateľov predbežne neuverejňujeme, lebo na danom štatistickom súbore neindikujú vzťah medzi charakterom rastu a fyziologickým stavom baktériovej populácie o mnoho citlivejšie ako pomerne jednoduchý vzorec  $P_t.c$ .

V prípadoch, keď sa inokulovalo bakteriálnymi suspenziami, u ktorých sa účinky zmrazovania zúžili na charakteristiku  $c \leq 99$ ,  $a < b$ , (I), resp. v jednom prípade aj  $c \leq 99$ ,  $a > b$  (Ia), vzišli kultúry rastúce ako krivky I. typu. Pri rovnakej exponenciálnej rýchlosťi rastu (pozri  $g_{ex}$ , resp.  $\alpha_{ex}$ ) mali rozdielnú dĺžku lagu (pozri na grafoch pomery  $\alpha_o : \alpha_{ex}$ , resp. v tabuľke 1 hodnoty pomeru  $g : g_{ex}$ ). Súhlasne s predpokladom, že selekcia rýchlejšie rastúcich organizmov je podmienená  $> 99\%$  usmrtením populácie, nedošlo v týchto prípadoch k stimulácii rastu kultúry, ale naopak k predĺženiu lagu, a to v korelácii so zvýšením kvóty poškodených baktérií. Výnimku predstavoval už spomínaný prípad, že jednodenné zmrazovanie pri teplote  $-30^{\circ}\text{C}$  vyvolalo malú a v krátkom čase odznievajúcu stimuláciu rastu *E. coli*. Polohu príslušnej rastovej krivky sme už predtým rozoberali, tu už len poukazujeme na to, že relatívne ukazovatele fyziologického stavu  $P_c$ , resp.  $P_p$ .  $c$  majú v tomto prípade významne vyššie hodnoty, ako pre ostatné inokulá charakteristiky  $c \leq 99$ ,  $a < b$ , resp. rastové krivky typu I. Naopak nápadne sa blížia k hodnotám príslušných ukazovateľov krivky typu II.

Tu treba poznamenať, že aj keď sa na danom štatistickom súbore podarilo vyhľadať pomerne jednoduchú matematickú diferenciáciu pre dva alternatívne efekty, je zrejmé, že ich nemožno oddeliť ostrou hranicou. Kinetika rastu, ako aj ostatné životné prejavy sú fenotypicky podmienené a len vo zvláštnych prípadoch dôjde k jednoznačnej dominancii istého fyziologického mechanizmu, aký by sa dal pripisať napr. negenetickej adaptácii pre zmeny rastových kriviek podľa I. typu a genotypickej selekcií pre prípady zhrnuté pod II. typ rastových kriviek. Tu treba poznamenať, že nemožno zásadne vylúčiť ani to, že za istých podmienok sa zmrazovaním vyselektujú aj pomaly rastúce organizmy, čo by sa muselo prejavíť vo forme kriviek II. typu s exponenciálnou rýchlosťou rastu nižšou ako u kontrolnej vzorky. Hartsell (1951, 1959) niečo podobného zachytil, zatiaľ však nemáme preto dôkazy.

### Diskusia

O tom, že problematiku inhibície a stimulácie nesledujeme len z jednostranného prístupu opísaného v tejto práci, svedčí už séria uverejnených prác, v ktorých sme u väčšieho počtu mikroorganizmov stanovovali vplyv zmrazovania na peptidázovú aktivitu a jej zmeny. Ako zo súborného spracovania dosiahnutých výsledkov vyplýva (Arpa 1961d), boli mnohé poznatky týchto prác, týkajúce sa najmä selekčného efektu zmrazovania, v plnom súlade so závermi predloženej práce. Zistili sme tiež, že nízke teploty môžu vyvolať zmeny u baktérií, ktoré majú cha-

rakter mutácie (Arpač 1961c). Lom v prvej tretine exponenciálneho priebehu rastovej krivky zmrazovanej kultúry v minimálnej pôde sme skúmali aj z hľadiska možnej parosexuálnej interakcie medzi mrazom poškodenými „auxotrofmi“, vyznačujúcimi sa pomalým rastom a mrazom nepoškodenými „prototrofmi“, vyznačujúcimi sa rýchlym rastom. Tieto pokusy ešte neviedli k publikovateľným výsledkom. Predkladáme však prácu, ktorou sme potvrdili pozorovania citovaných autorov o kladnom i zápornom vplyve zmrazovania na rast mikroorganizmov, a súčasne sme prispeli k objasneniu ich protirečívych výsledkov na základe výkladu o závislosti fyziologického prejavu kultúry od selekčného efektu zmrazovania. Súčasne sa však poukazuje na širokú stupnicu fyziologickej aktivity mikroorganizmov a miery jej poškodenia, ktorú bude treba kvantitatívne stanovovať, aby sa spresnili vzťahy, ktoré sa manifestujú práve pri pôsobení nízkych teplôt. Je to pravdepodobne preto, že pomalý antimikrobiálny účinok zmrazovania umožňuje pomerne selektívne rozlišiť fázy poškodenia kultúry. To však neznamená, že u rýchlejšie účinujúcich agensov sa vylučuje uplatnenie analogických efektov.

### Súhrn

Rýchlosť rastu bakteriálnej kultúry sa po zmrazovaní vo väčšine prípadov mení v zmysle zápornom (inhibícia) alebo aj kladnom (stimulácia). Sledovali sme limitujúce závislosti týchto zmien k výkladu ich mechanizmu. Mezofilný a cryosenzitívny testorganizmus *E-coli*, ako aj psychofilný a cryorezistentný kmeň *Ps. fluorescens* sa krátkodobe (1 deň) a dlhodobe (150 dní) zmrazovali pri  $-4$ ,  $-18$  a  $-30$  °C. Pred zmrazovaním a po expozícii bakteriálneho materiálu sa stanovila kvóta buniek schopných rastu na minimálnej živnej pôde (výživove nepoškodené), ako aj vyžadujúcich si k rastu obohatenej pôdy (výživove poškodených). Zistila sa tiež kvóta mrazom usmrtených buniek. Tieto údaje slúžili ako základné ukazovatele fyziologického stavu bakteriálnych suspenzií, ktoré sa použili ako inokulum pre kultivačné testy na stanovovanie rýchlosťi rastu. Biofotometrickou metódou sa namerali hodnoty rastových kriviek, bakterioskopicky kalibrované na celkový počet buniek. Skúmali sme vzťahy medzi podmienkami zmrazovania, zmenami ukazovateľov fyziologického stavu inokula a kinetikou rastu príslušných kultúr.

Zistilo sa, že za podmienok, pri ktorých malo zmrazovanie vysokú baktericidnú účinnosť ( $> 99\%$  uhynutie buniek), pričom medzi prežívajúcimi organizmami inokula prevládali výživove nepoškodené bunky, sa zvýšila exponenciálna rýchlosť rastu kultúr. K takému efektu došlo obvykle až po dlhodobom zmrazovaní a to pri cryosenzitívnom testorga-

nizme už pri zmrazovacej teplote  $-4^{\circ}\text{C}$ , u cryorezistentného organizmu však až pri hlbších teplotách.

Opačne, keď následkom zmrazovania sa prejavila dominacia, resp. zvýšenie kvóty výživove poškodených organizmov, došlo k spomaleniu rastu kultúry, ktorá záležala v predĺžení lag-fázy pri nezmenenej rýchlosťi rastu vo fáze exponenciálnej. Takýto účinok malo obvykle krátkedobé zmrazovanie, ale na cryorezistentný testorganizmus takto pôsobilo aj dlhodobé zmrazovanie pri  $-4^{\circ}\text{C}$ .

Medzi uvedenými dvoma typickými alternatívnymi reakciami v raste testorganizmov na podmienky zmrazovania boli niektoré medzistupne. Avšak pre hodnoty týchto medzistupňov rovnako ako pre celý štatistiký súbor platilo, že fyziologický stav inokula, empiricky vyjadrený súčinom kvóty usmrtených organizmov a podielu kvóty nepoškodených buniek s kvótou buniek poškodených, je v signifikantnom vzťahu k rýchlosťi rastu kultúr. V práci sa podrobnejšie vysvetľuje princíp postupu, ktorým sa našiel tento vzťah.

Spozorované efekty sa vysvetľujú v prípadoch stimulácie, prejavujúce sa zvýšenou exponenciálnou rýchlosťou rastu, na základe mrazovej selekcie rýchlejšie rastúcich organizmov, o ktorých sa predpokladá, že patria k najviac cryorezistentnej zložke bakteriálnej populácie. Naproti tomu inhibícia, na základe predĺženia lag-fázy je vysvetliteľná spomalenou adaptáciou zmrazovaním poškodených buniek. Selekčné a adaptačné procesy sa vzájomne nevylučujú, resp. sa predpokladá, že sa môžu súčasne uplatniť.

V diskusii sa hovorí o možnostiach spresnenia a širšieho uplatnenia spoznaných vzťahov medzi zmenami fyziologických prejavov a zmenami metabolicky definovaných zložiek kultúry, opierajúc sa pritom aj o výsledky predtým uverejnených prác.

#### L iteratúra

- Arpai J., Frakciovanie spór pri selekcii producentov itakónovej kyseliny. Biologické práce SAV, Bratislava 1957.
- Arpai J., Názory na mechanizmus a kinetiku účinkov nízkych teplôt na mikroorganizmy. Biológia 15 : 461, 1960a.
- Arpai J., Veränderungen im Biotin-Anspruch der Hefe nach Ultraviolettbestrahlung. Ztb. Bakt. II. Abt. 113 : 202, 1960b.
- Arpai J., Vplyv zmrazovacej teploty na kvótu odumierania a fyziologického poškodenia mikroorganizmov. Biológia 16 : 31, 1961a.
- Arpai J., Zur Problematik der baktericiden Wirkung von Antibiotica bei tiefen Temperaturen. Arch. Mikrobiol. 39 : 195, 1961b.

- Arpai J., Über die Mutationsauslösung bei *Serratia marcescens* durch Frosteinfluss. Die Naturwissenschaften 48 : 438, 1961c.
- Arpai J., Kälteeinfluss und Peptidase-Aktivität von Bakterien. Experientia 17 : 170, 1961d.
- Deotto R., L'azione del freddo sulla respirazione batterica. Atti della Accad. Naz. dei Lincei, Ser. 8., 1 : 241, 1946.
- Faguet M., Une nouvelle method d'étude de la multiplication microbienne. C. r. Soc. Biol. (Paris) 194 : 1763, 1935.
- Fanelli M. J., Ayres J. C., Methods of detection and affect of freezing on the microflora of chicken pies. Food Technol. 13 : 294, 1959.
- Gorrill R. H., Mc Neil E. M., The effect of cold diluent on the viable count of *Pseudomonas pyocyannea*. J. gen. Microbiol. 22 : 437, 1960.
- Hartsell S. E., The growth initiation of bacteria in defrosted eggs. Food Research 16 : 97, 1951.
- Hartsell S. E., Symposium on initiation of bacterial growth. Introduction. Bact. Rev. 23 : 250, 1959.
- Christophersen J., in: Temperatur und Leben od H. Precht, J. Christophersen a H. Hensel, Springer Verlag, Berlin 1955.
- Lambin S., German A., Bernard J., Étude des modalités d'action de quelques substances bactériostatiques a l'égard de *Staphylococcus Aureus* par la méthode des courbes de croissance. Ann. Inst. Pasteur 100 : 427, 1961.
- Málek I., O množení a pěstování mikroorganismů, zvláště baktérií, Praha 1955.
- Rahn O., Order of death of organismus larger than bacteria. J. Gen. Physiol 14 : 315, 1931.
- Rahn O., Barnes M. N., An experimental comparison of different criteria of death in yeast. J. Gen. Physiol. 16 : 579, 1933.
- Standard methods for the examination of water, sewage, and industrial wastes (10 th. ed.). New-York, American Public Health Association, 1955.
- Stille B., Untersuchungen über den Kältetod von Mikroorganismen. Arch. Mikrobiol. 14 : 554, 1950.
- Straka R. P., Stokes J. L., Rapid destruction of bacteria in commonly used diluents and its elimination. Appl. Microbiol. 5 : 21, 1957.
- Straka R. P., Stokes J. L., Metabolic injury to bacteria at low temperatures. J. Bacteriol. 78 : 181, 1959.
- Tanguay A. E., Preservation of microbiological assay organismus by direct freezing. Appl. Microbiol. 7 : 84, 1959.

#### MATHEMATISCHE-STATISTISCHE ANALYSE DER ABHÄNGIGKEIT DER WACHSTUMSKINETIK VON BAKTERIEN NACH FROSTEINFLUSS

##### Z u s a m m e n f a s s u n g

Die Vermehrungsgeschwindigkeit von Bakterienkulturen verändert sich zumeist nach Frosteinfluss. Wir untersuchten die Abhängigkeit und den Mechanismus dieser Veränderungen. Zu den Versuchen nahmen wir einen mesophilen und cryosenzitiven Stamm *Escherichia coli* und einen psychrophilen und cryoresistenten Stamm *Pseudomonas fluorescens*. Die Kulturen der Testorganismen wurden kurzfristig, d. h. 1 Tag

und langfristig, d. h. 150 Tage bei  $-4$ ,  $-18$  und  $-30^{\circ}\text{C}$  der Frostwirkung ausgesetzt. Vor dem Gefrieren und nach dem Auftauen bestimmten wir den Anteil der Bakterienzellen, die zum Wachstum auf Minimalnährböden fähig waren. Diese bezeichneten wir als physiologisch, bzw. vom Standpunkt des Ernährungsanspruchs als unbeschädigte Bakterien. Jener Anteil der Bakterienpopulation, der zu seinem Wachstum einen komplexen, angereicherten Nährboden erforderte, konnte als entsprechend beschädigte Bakterien bezeichnet werden. Der Anteil der durch Frost abgetöteten Zellen wurde gleichfalls bestimmt. Bakterienkulturen die auf angeführte Weise charakterisiert waren, verwendeten wir als Inokula zu Vermehrungsgeschwindigkeitsbestimmungen. Die Vermehrungskurven wurden mittels biophotometrischen Trübungsmessungen ermittelt und anhand bakterioskopischer Zählungen kalibriert. Wir untersuchten die Beziehungen zwischen der Gefrierweise, den Veränderungen in der physiologisch unterschiedenen Zusammensetzung der Bakterienpopulation und der Vermehrungskinetik während der Kultivation.

Es konnte festgestellt werden, dass unter den Bedingungen, da das Gefrieren stark baktericid wirkte, das heisst ein Absterben von über 99 % zur Folge hatte, wobei die überlebenden Bakterien zum überwiegenden Teil physiologisch unbeschädigt waren, es zu einer Erhöhung der Vermehrungsgeschwindigkeit während des exponentiellen Wachstums kam. Dieser Effekt konnte zumeist nach einem langandauernden Gefrieren von cryosensitiven Bakterien  $-4^{\circ}\text{C}$  und bei cryoresistenten Bakterien bei tieferen Temperaturen beobachtet werden.

Im gegengesetzten Fällen, wenn es unter Gefriereinfluss zu einer Dominanz beschädigter kam, konnte ein verlangsamtes Wachstum der Kulturen festgestellt werden. Diese beruhte in einer Verlängerung der lag-Phase bei unveränderter Vermehrungsgeschwindigkeit in der exponentieller Phase. Dieser Effekt war zumeist die Folge kurzfristigen Gefrierens, doch bei cryoresistenten Testorganismen auch nach langfristigem Gefrieren bei  $-4^{\circ}\text{C}$ .

Zwischen den angeführten typischen Reaktionsalternativen der Wachstumsveränderungen nach dem Gefrieren, gab es auch verschiedene Übergangsformen. Es wurde eine statistisch gesicherte Korrelation zwischen der Vermehrungsrate und einer physiologischen Charakterisation der zur Beimpfung verwendeten Bakterienpopulation gefunden. Dies wird im Text eingehend erläutert und eine hypothetische Erklärung der Wirkung der Frostselektion erbracht.